

УДК 621.396.96

В.И. АНТЮФЕЕВ, В.Н. БЫКОВ

Объединенный научно-исследовательский институт Вооруженных Сил, Украина

## ПОТЕНЦИАЛЬНАЯ ТОЧНОСТЬ МЕСТООПРЕДЕЛЕНИЯ РАДИОМЕТРИЧЕСКИМИ МАТРИЧНЫМИ СИСТЕМАМИ НАВИГАЦИИ С УПЛОТНЕНИЕМ КАНАЛЬНЫХ СИГНАЛОВ

Приводятся результаты оценки потенциальной точности определения координат радиометрическими матричными системами навигации с уплотнением канальных сигналов на основе использования системы функций Уолша, полученные с учетом корреляции канальных сигналов, обусловленной частичным пересечением диаграмм направленности парциальных лучей матричной антенны и пропусканием сигналов через общий усилительный тракт.

**радиометрические матричные системы, уплотнение канальных сигналов, потенциальная точность местоопределения**

### Введение

Радиометрические матричные системы находят применение для навигации летательных аппаратов по наземным ориентирам. Для уменьшения числа приемных каналов возможно применение уплотнения канальных сигналов, в частности, с помощью семейства функций Уолша [1 – 5]. В таких системах взаимная корреляция канальных сигналов возникает как за счет частичного перекрытия парциальных диаграмм направленности антенны (ДНА) соседних лучей, так и за счет пропуска их через общий усилительный тракт при уплотнении.

В работе [3] получено выражение для корреляционной матрицы канальных сигналов на выходе приемника с уплотнением сигналов, но вопрос о потенциальной точности определения координат такими системами остается открытым.

**Целью статьи** является определение потенциальной точности местоопределения радиометрическими матричными системами навигации с учетом влияния обоих факторов.

**Постановка задачи.** В работе [6], результаты и обозначения которой будем использовать в дальнейшем, получено выражение для выходного отно-

шения сигнал/шум многоканального радиометрического приемника

$$\mathbf{q} = \tilde{\mathbf{q}} + \Delta\mathbf{q}, \quad (1)$$

которое можно рассматривать как модель изображения в векторном представлении, нумерация элементов которого получена путем его развертки по строкам;  $q_k = (q_1, \dots, q_N)$ ,  $N = N_1 N_2$ ;  $\tilde{\mathbf{q}}$ ,  $\Delta\mathbf{q}$  – сигнальная и шумовая составляющие изображения соответственно;  $N_1$ ,  $N_2$  – число строк и столбцов матрицы изображения соответственно;

$$\tilde{q}_k = \sum_{i=1}^N q_{ik} - \frac{1}{2} \sum_{(i,j) \in I_k} q_{ij}; \quad (2)$$

$$I_k = \{(i, j) \in \overline{1, N} \times \overline{1, N} \mid i \otimes j = k\};$$

двоичное разложение числа  $i \oplus j$  получается путем поразрядного сложения по модулю 2 двоичных разложений чисел  $i, j$ ;

$$q_{ij} = \frac{1}{T_n} \int_{\mathbf{R}^2} \sqrt{G_i(x, y) G_j(x, y)} T(x, y) dx dy; \quad (3)$$

$T(x, y)$  – распределение радиояркостной температуры на поверхности земли в связанной с нею системе координат;  $T_n$  – приведенная ко входу эквивалентная температура усилительного тракта радио-

метра;  $G_i(x, y) = G(x, y; x_{0i}, y_{0i})$  – ДНА по мощно-сти  $i$ -го парциального луча многоканальной антен-ны, пересчитанная к координатам на поверхности земли;  $(x_{0i}, y_{0i})$  – точка пересечения оси ДНА  $i$ -го луча с поверхностью земли.

В той же работе получено следующее соотно-шение для матрицы шумовых компонент  $\hat{\Delta q}_k$ :

$$R_{\Delta q_k \Delta q_l} = \frac{4}{\Delta f \tau} R'_{kl}, \quad k, l \in \overline{1, N},$$

где

$$R'_{kl} = q^2 + q'^2 + \delta_{kl} \left( 1 + \frac{\bar{q}}{2} \right)^2 + \frac{\tilde{q}_k + \tilde{q}_l}{2} + \frac{(N+1)\tilde{q}_k \tilde{q}_l}{4}; \quad (4)$$

$$q^2 = \frac{1}{4} \left[ \sum_{(i,j,p,q) \in I_{2,kl}} q_{ij} q_{pq} + \frac{1}{4} \sum_{(i,j,p,q) \in I_{4,kl}} q_{ij} q_{pq} - (1 - \delta_{kl}) \left( \bar{q} \sum_{(i,j) \in I_{1,kl}} q_{ij} + \sum_{(i,j,p,q) \in I_{3,kl}} q_{ij} q_{pq} \right) \right];$$

$$q'^2 = \sum_{(i,j) \in I_{2,kl}} q_{ij} - \frac{1}{2} (1 - \delta_{kl}) \bar{q} \sum_{(i,j) \in I_{1,kl}} q_{ij};$$

$$\bar{q} = \sum_{i,j=1}^N q_{ij}; \quad I_{1,kl} = \left\{ (i, j) \in \overline{1, N} \times \overline{1, N} \mid i = k \oplus l \right\};$$

$$I_{2,kl} = \left\{ (i, j, p, q) \in \overline{1, N} \times \overline{1, N} \times \overline{1, N} \times \overline{1, N} \mid i \oplus p = k \oplus l \right\};$$

$$I_{3,kl} = \left\{ (i, j, p, q) \in \left[ \overline{1, N} \right]^4 \mid i \oplus j \oplus p = k \oplus l \right\};$$

$$I_{4,kl} = \left\{ (i, j, p, q) \in \left[ \overline{1, N} \right]^4 \mid i \oplus j \oplus p \oplus q = k \oplus l \right\};$$

$\Delta f$  – полоса пропускания приемника по радиочас-тоте;  $\tau$  – время интегрирования радиометра.

Совместную плотность распределения случай-ных величин  $\Delta q_k$  можно считать нормальной в силу известной теоремы нормализации случайного про-цесса на выходе узкополосного фильтра радиомет-рического канала [7].

Для упрощения расчетов предположим, что объ-ект, координаты которого оцениваются, представля-ет собой набор прямоугольников

$$\left\{ S_m = \left[ \varepsilon_x + \Delta x_m, \varepsilon_x + \Delta x_m + l_{x_m} \right] \times \left[ \varepsilon_y + \Delta y_m, \varepsilon_y + \Delta y_m + l_{y_m} \right] \right\}_{m=1}^M,$$

наблюдаемых на однородном фоне, т.е.

$$T(x, y) = \begin{cases} T_m, & (x, y) \in S_m, m \in \overline{1, M}; \\ T_b, & (x, y) \notin \bigcup_{m=1}^M S_m. \end{cases} \quad (5)$$

В формуле (3)  $(\Delta x_m, \Delta y_m)$  – вектор сдвига лево-го нижнего угла  $m$ -го прямоугольника относительно соответствующих координат первого прямоуголь-ника, для которого  $(\Delta x_1, \Delta y_1) = \mathbf{0}$ .

Построим логарифм функции правдоподобия векторного параметра сдвига  $\boldsymbol{\varepsilon} = (\varepsilon_x, \varepsilon_y)$  для изо-бражения (1):

$$\Lambda(\boldsymbol{\varepsilon}) = -\frac{1}{2} (\mathbf{q} - \tilde{\mathbf{q}}(\boldsymbol{\varepsilon}))^T \mathbf{R}^{-1} (\mathbf{q} - \tilde{\mathbf{q}}(\boldsymbol{\varepsilon})). \quad (6)$$

Для модели распределения (5) выражение (3) можно представить в виде

$$q_{ij}(\varepsilon_x, \varepsilon_y) = s_{ij}(\varepsilon_x, \varepsilon_y) + p_{ij}, \quad (7)$$

где

$$s_{ij} = \frac{1}{T_n} \sum_{m=1}^M \Delta T_m \int_{\varepsilon_x + \Delta m_x}^{\varepsilon_x + \Delta m_x + l_x} \int_{\varepsilon_y + \Delta m_y}^{\varepsilon_y + \Delta m_y + l_y} G_{ij}(x, y) dx dy,$$

$$p_{ij} = \frac{T_b}{T_n} \int_{R^2} G_{ij}(x, y) dx dy = \frac{T_b}{T_n},$$

$$\Delta T_m = T_m - T_b, \quad G_{ij}(x, y) = \sqrt{G_i(x, y) G_j(x, y)}.$$

Тогда

$$\tilde{q}_k(\boldsymbol{\varepsilon}) = f_k(\boldsymbol{\varepsilon}) + g_k, \quad (8)$$

$$\text{где } f_k(\boldsymbol{\varepsilon}) = \sum_{i=1}^N s_{ik}(\boldsymbol{\varepsilon}) - \frac{1}{2} \sum_{(i,j) \in I_k} s_{ik}(\boldsymbol{\varepsilon}),$$

$$g_k = \sum_{i=1}^N p_{ik} - \frac{1}{2} \sum_{(i,j) \in I_k} p_{ik}.$$

Тогда модель изображения (1) и логарифм функ-ции правдоподобия (6) принимают вид

$$\mathbf{q} = \mathbf{f} + \mathbf{g} + \Delta \mathbf{q}, \quad (9)$$

$$\Lambda(\boldsymbol{\varepsilon}) = -\frac{1}{2} (\mathbf{q} - \mathbf{g} - \mathbf{f}(\boldsymbol{\varepsilon}))^T \mathbf{R}^{-1} (\mathbf{q} - \mathbf{g} - \mathbf{f}(\boldsymbol{\varepsilon})). \quad (10)$$

Требуется при принятых допущениях и предположениях путем использования неравенства Рао-Крамера оценить потенциальную точность определения параметра сдвига  $\boldsymbol{\varepsilon} = (\varepsilon_x, \varepsilon_y)$ .

### Потенциальная точность местоопределения

Построим информационную матрицу Фишера параметра  $\boldsymbol{\varepsilon}$ :

$$\mathbf{F}(\boldsymbol{\varepsilon}) = \begin{bmatrix} \mathbf{f}_x^T(\boldsymbol{\varepsilon})\mathbf{R}^{-1}\mathbf{f}_x(\boldsymbol{\varepsilon}) & \mathbf{f}_x^T(\boldsymbol{\varepsilon})\mathbf{R}^{-1}\mathbf{f}_y(\boldsymbol{\varepsilon}) \\ \mathbf{f}_x^T(\boldsymbol{\varepsilon})\mathbf{R}^{-1}\mathbf{f}_y(\boldsymbol{\varepsilon}) & \mathbf{f}_y^T(\boldsymbol{\varepsilon})\mathbf{R}^{-1}\mathbf{f}_y(\boldsymbol{\varepsilon}) \end{bmatrix}, \quad (11)$$

где  $f_{xi}(\varepsilon_x, \varepsilon_y) = \frac{\partial f_i(\varepsilon_x, \varepsilon_y)}{\partial \varepsilon_x}$ ,  $i \in \overline{1, N}$ ,

$$f_{yi}(\varepsilon_x, \varepsilon_y) = \frac{\partial f_i(\varepsilon_x, \varepsilon_y)}{\partial \varepsilon_y}, \quad i \in \overline{1, N},$$

причем зависимостью матрицы  $\mathbf{R}$  от параметра  $\boldsymbol{\varepsilon}$  пренебрегаем.

Диагональные элементы обратной к (11) матрицы дают дисперсии оценок параметра сдвига  $\boldsymbol{\varepsilon}$ . Для среднеквадратического отклонения оценок будем иметь:

$$\sigma_x = \left[ \frac{\mathbf{f}_y^T \mathbf{R}^{-1} \mathbf{f}_y}{(\mathbf{f}_x^T \mathbf{R}^{-1} \mathbf{f}_x)(\mathbf{f}_y^T \mathbf{R}^{-1} \mathbf{f}_y) - (\mathbf{f}_x^T \mathbf{R}^{-1} \mathbf{f}_y)^2} \right]^{1/2}; \quad (12)$$

$$\sigma_y = \left[ \frac{\mathbf{f}_x^T \mathbf{R}^{-1} \mathbf{f}_x}{(\mathbf{f}_x^T \mathbf{R}^{-1} \mathbf{f}_x)(\mathbf{f}_y^T \mathbf{R}^{-1} \mathbf{f}_y) - (\mathbf{f}_x^T \mathbf{R}^{-1} \mathbf{f}_y)^2} \right]^{1/2}.$$

Используя правило дифференцирования интеграла, зависящего от параметра, найдем

$$\frac{\partial s_{ik}}{\partial \varepsilon_x} = \frac{1}{T_n} \sum_{m=1}^M T_m \int_{\varepsilon_y + \Delta y_m}^{\varepsilon_y + \Delta y_m + l_{y_m}} \left[ G_{ij}(\varepsilon_x + \Delta x_m + l_{x_m}, y) - G_{ij}(\varepsilon_x + \Delta x_m, y) \right] dy,$$

$$\frac{\partial s_{ik}}{\partial \varepsilon_y} = \frac{1}{T_n} \sum_{m=1}^M T_m \int_{\varepsilon_x + \Delta x_m}^{\varepsilon_x + \Delta x_m + l_{x_m}} \left[ G_{ij}(x, \varepsilon_y + \Delta y_m + l_{y_m}) - G_{ij}(x, \varepsilon_y + \Delta y_m) \right] dx.$$

### Результаты расчета потенциальной точности местоопределения

Для простоты рассмотрим случай аппроксимации парциальной ДНА гауссоидой

$$G_i(x, y) = \frac{1}{2\pi\sigma_x\sigma_y} \exp \left\{ - \left[ \frac{(x-x_i)^2}{2\sigma_x^2} + \frac{(y-y_i)^2}{2\sigma_y^2} \right] \right\}, \quad (13)$$

поскольку в этом случае удается выполнить интегрирование по прямоугольникам. Для такой аппроксимации

$$G_{ij}(x, y) = \frac{C_{ij}}{2\pi\sigma_x\sigma_y} \times \exp \left\{ - \frac{1}{2} \left\{ \left[ \frac{1}{\sigma_x^2} \left( x - \frac{x_i + x_j}{2} \right)^2 \right] + \frac{1}{\sigma_y^2} \left( y - \frac{y_i + y_j}{2} \right)^2 \right\} \right\},$$

$$s_{ij}(\boldsymbol{\varepsilon}) = \frac{C_{ij}}{T_n} \sum_{m=1}^M \Delta T_m \Phi \left[ \frac{1}{\sigma_x} \left( x - \frac{x_i + x_j}{2} \right) \right]_{x=\varepsilon_x + \Delta x_m}^{\varepsilon_m + \Delta x_m + l_{x_m}} \times \times \Phi \left[ \frac{1}{\sigma_y} \left( y - \frac{y_i + y_j}{2} \right) \right]_{y=\varepsilon_y + \Delta y_m}^{\varepsilon_y + \Delta y_m + l_{y_m}}, \quad p_{ij} = \frac{T_b}{T_n},$$

где  $C_{ij} = \exp \left\{ - \frac{1}{8} \left[ \left( \frac{x_i - x_j}{\sigma_x} \right)^2 + \left( \frac{y_i - y_j}{\sigma_y} \right)^2 \right] \right\}$ .

Групповая ДНА строилась следующим образом. Задавалась ширина ДНА по уровню  $-3$  дБ в углометной  $\Delta\theta$  и азимутальной  $\Delta\varphi$  плоскостях. При аппроксимации гауссоидой

$$G_i(\theta, \varphi) = \frac{1}{2\pi\sigma_\theta\sigma_\varphi} \exp \left\{ - \left[ \frac{(\theta - \theta_i)^2}{2\sigma_\theta^2} + \frac{(\varphi - \varphi_i)^2}{2\sigma_\varphi^2} \right] \right\}$$

параметры гауссоиды должны выбираться в соответствии с соотношениями

$$\sigma_\theta = \frac{\Delta\theta}{2\sqrt{2 \ln 2}}, \quad \sigma_\varphi = \frac{\Delta\varphi}{2\sqrt{2 \ln 2}},$$

а параметры аппроксимации (13) определялись выражениями  $\sigma_x = z_0 \operatorname{tg} \sigma_\theta / 2$ ;  $\sigma_y = z_0 \operatorname{tg} \sigma_\varphi / 2$ , где  $z_0$  – высота расположения системы навигации.

В антенной системе координат  $(x_A, y_A, z_A)$ , в которой ось групповой ДНА предполагается совпа-

дающей с осью  $z_A$ , оси строчных парциальных ДНА лежат в плоскостях, проходящих через ось  $y_A$  под углами

$$\theta_i = -\delta\theta \left[ \frac{N_1 - 1}{2} - (i - 1) \right], i \in \overline{1, N_1} \quad (14)$$

к плоскости  $z_A = 0$ , а оси столбцовых ДНА лежат в плоскостях, проходящих через ось  $z_A$  под углами

$$\varphi_j = \delta\varphi \left[ \frac{N_2 - 1}{2} - (j - 1) \right], j \in \overline{1, N_2} \quad (15)$$

к плоскости  $y_A = 0$ .

В формулах (14), (15)  $\delta\theta, \delta\varphi$  – угловой шаг между соседними плоскостями, знак «минус» в (14) выбран для того, чтобы нумерация лучей соответствовала принятой в матрицах. Уравнения указанных плоскостей имеют вид

$$\begin{aligned} D_i : x_A \sin \theta_i - z_A \cos \theta_i &= 0; \\ L_j : x_A \sin \varphi_j - y_A \cos \varphi_j &= 0. \end{aligned} \quad (16)$$

Направление  $ij$ -го луча в антенной СК совпадает с направляющим вектором  $\mathbf{b}^{ij}$  линии пересечения плоскостей  $D_i$  и  $L_j$ , который определяется выражением [8]:

$$\mathbf{b}^{ij} = \left[ \cos \theta_i \cos \varphi_j, \cos \theta_i \sin \varphi_j, \sin \theta_i \cos \varphi_j \right]^T.$$

Координаты точек пересечения осей парциальных ДНА с поверхностью земли  $(x_{0ij}, y_{0ij})$ , фигурирующие в (13), могут быть рассчитаны по формулам, приведенным в [7]. В частности, если в момент визирования антенна расположена в точке  $(x_0, y_0, z_0)$  и ее ось групповой ДНА противоположна направлению оси  $z$ , то

$$x_{0ij} = x_0 - z_0 b_x^{ij} / b_z^{ij}; \quad y_{0ij} = y_0 - z_0 b_y^{ij} / b_z^{ij}.$$

Угловые расстояния  $\delta\theta, \delta\varphi$  между соседними лучами определялись из соотношений

$$\delta\theta = \vartheta\theta / N_1; \quad \delta\varphi = \vartheta\varphi / N_2,$$

где угловые расстояния  $\vartheta\theta, \vartheta\varphi$  между осями крайних лучей считались заданными.

На рис. 1 представлены результаты расчетов потенциальной точности местоопределения для следующих исходных данных:

$$m = 1; \quad N_1 = N_2 = 4; \quad \varepsilon_x = \varepsilon_y = -35 \text{ м};$$

$$\Delta x_1 = \Delta y_1 = 0; \quad l_x = 70 \text{ м}; \quad T_n = 1000 \text{ К};$$

$$T_b = 270 \text{ К}; \quad T_1 = 267 \text{ К}; \quad \Delta T_1 = 3 \text{ К};$$

$$\Delta f = 10^9 \text{ Гц}; \quad \tau = 0,1 \text{ с}; \quad \Delta\theta = \Delta\varphi = 2^\circ.$$

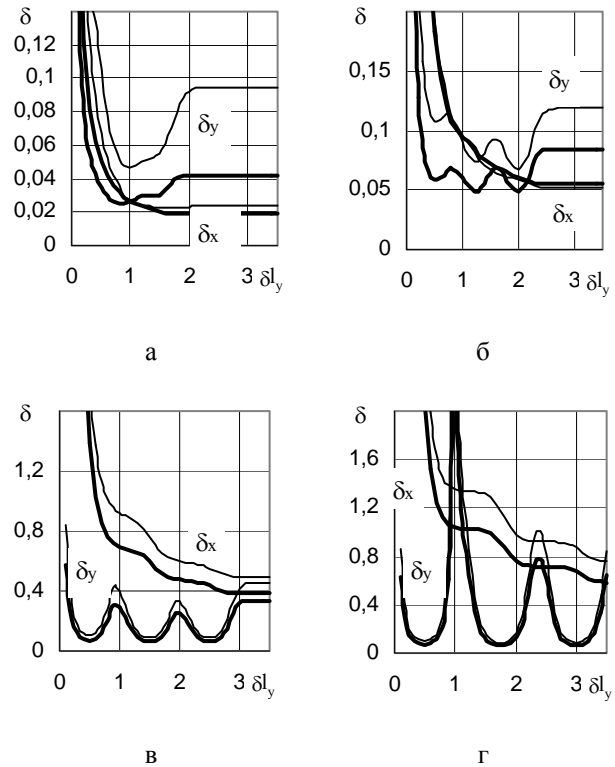


Рис. 1. Зависимости точности местоопределения от длины прямоугольника при  $\Delta T_1 = 3 \text{ К}$ .

а –  $d = 0,5$ ; б –  $d = 0,75$ ;

в –  $d = 1$ ; г –  $d = 1,25$

В случае  $m = 1$  формулы (12) можно переписать для относительной (относительно ширины ДНА на местности) точности местоопределения в виде

$$\begin{aligned} \delta_x &= \frac{1}{\Delta x Q} \left[ \frac{\mathbf{f}_y^T \mathbf{R}^{-1} \mathbf{f}_y}{(\mathbf{f}_x^T \mathbf{R}^{-1} \mathbf{f}_x)(\mathbf{f}_y^T \mathbf{R}^{-1} \mathbf{f}_y) - (\mathbf{f}_x^T \mathbf{R}^{-1} \mathbf{f}_y)^2} \right]^{1/2}; \\ \delta_y &= \frac{1}{\Delta y Q} \left[ \frac{\mathbf{f}_x^T \mathbf{R}^{-1} \mathbf{f}_x}{(\mathbf{f}_x^T \mathbf{R}^{-1} \mathbf{f}_x)(\mathbf{f}_y^T \mathbf{R}^{-1} \mathbf{f}_y) - (\mathbf{f}_x^T \mathbf{R}^{-1} \mathbf{f}_y)^2} \right]^{1/2}, \end{aligned} \quad (17)$$

где  $f' = f T_n / \Delta T_1$ ;  $Q = \frac{\Delta T_1}{\sigma_0}$  – отношение сигнал/шум на выходе радиометра;

$\sigma_0 = 2T_n / \sqrt{\Delta f \tau}$  – чувствительность радиометра при нулевом сигнале на входе;

$$\Delta x = 2 \operatorname{tg} \Delta \theta / 2, \quad \Delta y = 2 \operatorname{tg} \Delta \varphi / 2, \quad \delta l_y = l_y / \Delta y.$$

Назовем коэффициентом перекрытия лучей отношение  $d_x = \delta x / \Delta x$ ;  $d_y = \delta y / \Delta y$ .

Тогда рис. 1, а соответствует случаю, когда  $\Delta \theta = \Delta \varphi = 4^\circ$  (ДНА соседних лучей перекрываются наполовину ( $d_x = d_y = d = 0,5$ )); рис. 1, б – случаю  $\Delta \theta = \Delta \varphi = 6^\circ$  ( $d = 0,75$ ); рис. 1, в – случаю  $\Delta \theta = \Delta \varphi = 8^\circ$  (ДНА соседних лучей соприкасаются  $d = 1$ ); рис. 1, г – случаю  $\Delta \theta = \Delta \varphi = 10^\circ$  ( $d = 1,25$ ).

Тонкими кривыми на рис. 1 отображены результаты расчетов по формуле (17) с корреляционной матрицей (4), а жирными – результаты расчетов по той же формуле, но с корреляционной матрицей

$$R_{\Delta q_k \Delta q_l} = \frac{4}{\Delta f \tau} (q_{kl} + 1)^2,$$

соответствующей матричному радиометру с независимыми каналами, каждый из которых выполнен по модуляционной схеме.

На рис. 2 приведены такие же, как и на рис. 1 графики для случая  $\Delta T_1 = 8 K$ . Заметно, что при сильном пересечении соседних ДНА (рис. 1, а, рис. 2, а) проигрыш в точности местоопределения по сравнению с идеальным случаем многоканального приемника с независимыми каналами при увеличении контраста с 3 К до 8 К возрастает от 2,255 раза до 7,622 раз.

Используя результаты работы [9], можно использовать другие аппроксимации ДНА парциальных лучей антенны.

Для того чтобы выяснить влияние недиагональных членов матрицы  $[q_{ij}]$  на точность местоопре-

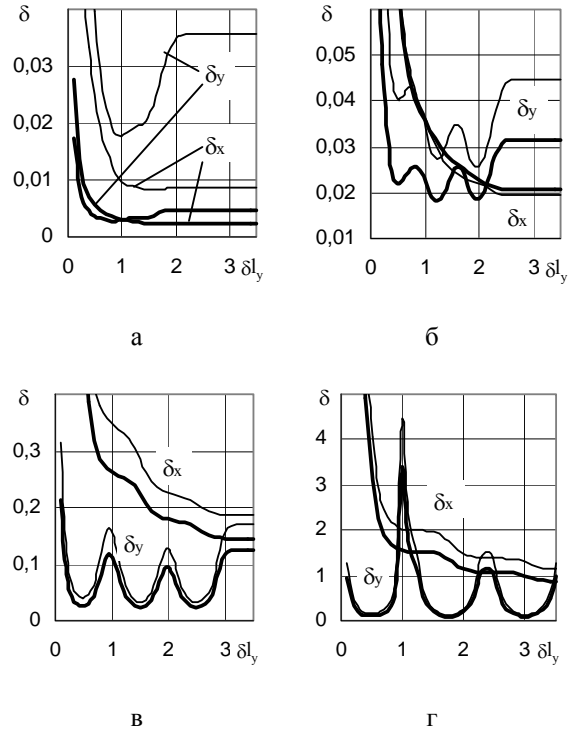


Рис. 2. Зависимости точности местоопределения от длины прямоугольника при  $\Delta T_1 = 8 K$ : а –  $d = 0,5$ ; б –  $d = 0,75$ ; в –  $d = 1$ ; г –  $d = 1,25$

деления, на рис.3 для случая  $d = 0,5$  приведены результаты расчетов с учетом корреляции канальных сигналов (тонкие кривые) и диагональной матрицы  $q_{ij} = q_i \delta_{ij}$ ;  $i, j \in \overline{1, N}$  (жирные кривые).

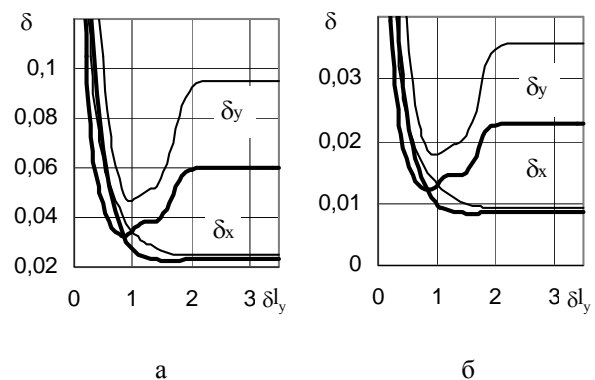


Рис. 3. Зависимости точности местоопределения от длины прямоугольника при  $d = 0,5$  для  $\Delta T_1 = 3 K$  (а) и  $\Delta T_1 = 8 K$  (б)

Для  $d \geq 0,75$  кривые для обоих случаев практически сливаются.

## Выводы

Показано, что уже при коэффициенте перекрытия парциальных ДНА соседних лучей  $d > 0,75$  влиянием взаимной корреляции канальных сигналов, обусловленных пересечением парциальных ДНА соседних каналов, можно пренебречь.

## Литература

1. АС 1544028 СССР, МКИ G 01 R 29/08. Многоканальный радиометр / В.И. Антюфеев, В.Н. Быков, В.А. Кулаков, А.С. Султанов, Ю.В. Овсянников; Заявлено 23.12.88; Опубл. 15.10.89. – 2 с.
2. Антюфеев В.И., Быков В.Н., Мирошник Т.В., Радзиховский В.Н., Сотников А.М. Уплотнение каналов в многоканальных радиометрических приемниках миллиметрового диапазона волн // Радиотехника. – 2004. – Вып. 136. – С. 86-90.
3. Антюфеев В.И. Оптимизация семейства модулирующих функций в многоканальном радиометре. Сообщение 1 // Радиотехника. – 1997. – Вып. 101. – С. 16-20.
4. Антюфеев В.И. Оптимизация семейства модулирующих функций в многоканальном радиометре. Сообщение 2 // Радиотехника. – 1997. – Вып. 101. – С. 21-28.
5. Антюфеев В.И., Быков В.Н., Овсянников Ю.В., Султанов А.С. Оценка реальной чувствительности многоканального радиометра // Радиотехника. – 1991. – Вып. 94. – С. 7-13.
6. Антюфеев В.И., Быков В.Н. Шумовые свойства радиометрических матричных систем формирования изображений с уплотнением канальных сигналов // Радіоелектронні і комп'ютерні системи. – 2007. – №2 (21). – С. 11-15.
7. Тихонов В.И. Статистическая радиотехника. – М.: Радио и связь, 1982. – 624 с.
8. Антюфеев В.И., Быков В.Н., Гричанюк А.М., Черепнев А.С. Модель формирования изображений в радиометрических матричных корреляционно-экстремальных системах навигации // Системи обробки інформації. – Х.: НАНУ, ПАНМ, ХВУ. – 2002. – Вып. 6 (22). – С. 307-313.
9. Антюфеев В.И., Быков В.Н., Макаренко Б.И. Потенциальная точность местоопределения матричными системами землеобзора // Электромагнитные волны и электронные системы. – 2001. – Т.6, № 2-3. – С. 101-106.

*Поступила в редакцию 5.09.2007*

**Рецензент:** д-р техн. наук, проф. Е.Л. Казаков, Объединенный научно-исследовательский институт Вооруженных Сил, Харьков.